

Малогабаритная многочастотная РЛС декаметрового диапазона для мониторинга океана и ионосферы. Концепции разработки и первые результаты

В.А. Гарбацевич¹, В.А. Телегин^{1,2}, В.С. Лапшин², Н.А. Шаболдин²,
И.И. Иванов^{3,2}, Д.В. Ивонин⁴

¹ Институт земного магнетизма, ионосферы и распространения радиоволн
им. Н.В. Пушкова РАН,

142190, Московская область, г. Троицк
e-mail: vgarb@izmiran.ru

² НИИ дальней радиосвязи,
107076, Москва, Бухострова 1-я ул., 12/11
e-mail: telvik@rambler.ru

³ НИИ физики ЮФУ,
344090, Ростов-на-Дону, пр. Ставки, 194,
e-mail: iiivv@yandex.ru

⁴ Институт океанологии им. П.П. Ширшова РАН,
117997, Москва, Нахимовский проспект 36
e-mail: toulon@bk.ru

Приводится концепция, описание и первые тесты разработанной малогабаритной многочастотной РЛС (МРЛ «Вектор») декаметрового диапазона (1-25 МГц) для мониторинга океана и ионосферы. РЛС предназначена для измерения поля течений до 50 км от берега с дискретностью 1 х 1 кв.км и поля волнения в условиях открытых и сложных прибрежных акваторий, а также выполнения стандартных задач зондирования ионосферы. РЛС имеет малую излучаемую мощность и использует фазо-манипулированный сигнал (16 элементная М-последовательность), малогабаритную антенну длиной около 60 м. Приведены результаты тестов.

Ключевые слова: многочастотный радар, прибрежный КВ радар, дистанционное зондирование, течения, волнение.

Радар

Приводится концепция, описание и первые тесты разработанной малогабаритной многочастотной РЛС (МРЛ «Вектор») декаметрового диапазона (1-25 МГц) пред назначеннной для мониторинга океана и ионосферы. Разработка ведется в тесном сотрудничестве Института земного магнетизма, ионосферы и распространения радиоволн им. Н.В. Пушкова РАН (ИЗМИРАН), НИИ дальней радиосвязи (НИИДАР), Института океанологии им. П.П. Ширшова РАН (ИОРАН) и НИИ физики ЮФУ. МРЛ «Вектор» предназначен для контроля состояния морской поверхности методом импульсного радиозондирования и оперативной диагностики ионосферы при ее вертикальном, наклонном зондировании (ВЗ и НЗ). МРЛ способен обеспечивать реализацию своих функций, как при автономной работе, так и в составе наземно-космического геофизического комплекса. МРЛ решает следующие задачи:

1) при мониторинге состояния морской поверхности обеспечивает измерение:

- характеристик волнения (бальности, амплитуды, пространственно-временного спектра);

- скорости течения по направлению к условному центру приемной антенны;
- направления и скорости течения в составе комплекса, состоящего из 2 и более МРЛ;
- вертикального профиля течений до глубины 20 м;

2) при ионосферном мониторинге обеспечивает:

- измерение амплитудно-частотной зависимости от действующей высоты отраженных ионосферой сигналов на разделенных магнитоионных компонентах;
- измерение характеристик динамических процессов в ионосфере (доплеровский эффект для спектров сигналов отраженных от ионосферы);
- измерение углов прихода отраженных ионосферой сигналов;
- расчет профиля электронной концентрации ионосферы при полуавтоматическом (ручном) выделении следов на ионограммах;

3) после предварительной обработки измерений обеспечивает:

- хранение и накопление в базе данных результатов измерений;
- выдачу результатов измерений и обработки по каналу связи потребителям.



Рис. 1. Общий вид аппаратуры

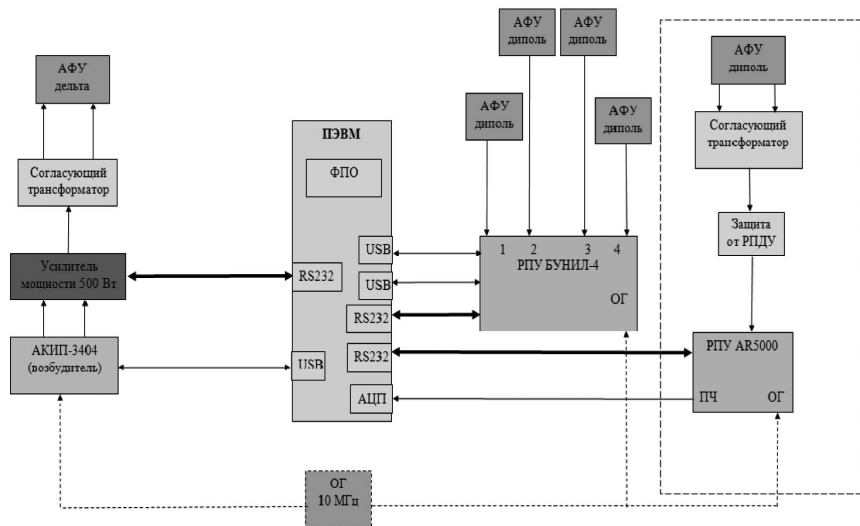


Рис. 2. Структурная схема изделия

На рис. 1 и 2 представлены общий вид аппаратуры и структурная схема. МРЛ «Вектор» состоит из передающей (РПдУ – УМ) и приемной (РПрУ) частей. Основные технические характеристики приведены в таблице 1.

Таблица 1. Основные технологические характеристики МРЛ «Вектор»

Параметр	Диапазон значений параметра
Диапазон частот зондирования (МГц)	1 – 40(РПрУ), 1 – 25(РПдУ)
Диапазон высот, дальности зондирования (км)	85 – 900
Разрешение по высоте; дальности (км)	квант 0,03
Излучаемая мощность РПД (кВт в импульсе)	0.6
Тип сигнала	ФКМ 16 элементов *
Форма импульсов	ФКМ до 600 мкс
Измеряемые параметры сигнала	Амплитуда, задержка (фаза, доплер, углы прихода в перспективе)
Время зондирования в диапазоне (сек.)	15 – 40
Закон перестройки	Программируется
Шаг перестройки по частоте (кГц); (разрешение по частоте)	1, 10, 20, 30, 100, 1000
Частота повторения импульсов (Гц)	До 160 (РПдУ)
Количество импульсов на частоте	Программируется
Скорость развертки (МГц/сек.)	Программируется
Время перестройки по частоте (мс)	1
Длительность имп. (мкс)	600 макс.
Точность частоты зондир. (Стабильность ОГ)	5*10-9
Частотные метки	1 МГц (программ.)
Кол-во приемников	1, 4, 8, 16 каналов
Тип РПрУ	Аналого-цифровой
Выход РПрУ	АЦП 14 разр.
5 МГц, ПЧ 465 кГц	
Чувствительность приемника	0.5 – 5 мкВ
Полоса пропускания РПрУ (кГц)	30 – 90
Регулировка «чувствительности» (Аттенюация по входу РПрУ)	0 – 42 дБ
Динамический диапазон (дБ)	84
Вычислительные мощности	Один ПК
Выделение сигналов из шумов	Цифровая обработка с возможностью временного накопления
Программное обеспечение	Комплектуется по требованиям заказчика
Антенны	Дельта – передающая, малогабаритные приемные (дипольные или рамочные)
Размеры антенн	Передающей: 12 * 60 м, Приемных: 4 * 5 * 5 м
Площадь ант поля	60 * 60 м
Потребляемая мощность (кВт)	0,16 без ПК
Вес (кг)	9 без антенн и ПК
Габариты	400 * 400 * 290 мм без антенн и ПК

* Излучаемый сигнал может быть иной формы (по отдельному заказу).

На рис. 3 и 4 представлены фотографии аналого-цифровое четырехканального приемника и усилителя.

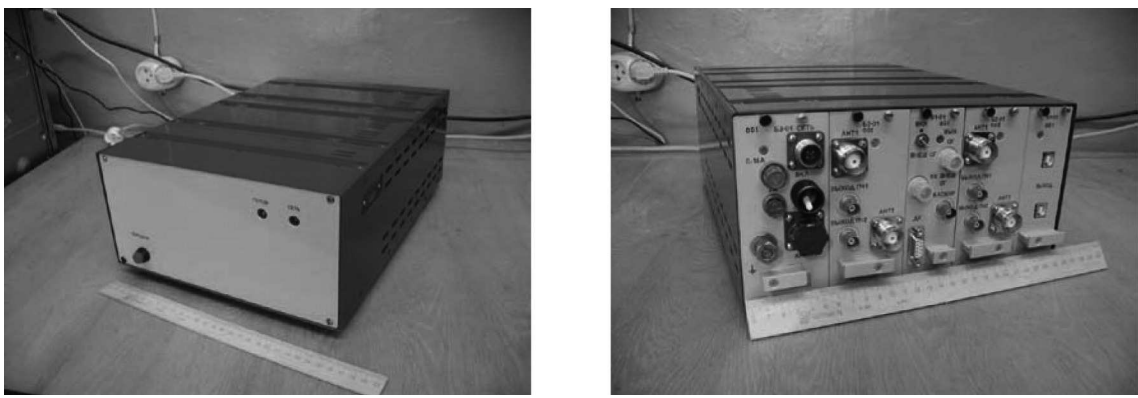


Рис. 3. Аналогово-цифровое четырехканальное РПУ БУНИЛ-4 (вид спереди и сзади)

Технические характеристики аналогово-цифрового четырехканального РПУ БУНИЛ-4:

- ДРЧ 1-40 МГц
- Количество каналов приема 4
- Чувствительность 1 мкВ
- Стабильность внутреннего ОГ 1×10^{-9}
- Выход внутреннего ОГ / (вход внешнего ОГ)
- Время восстановления чувствительности 30-50 мкс
- ПЧ 465 кГц
- Полоса пропускания от 30 до 90 кГц (Задается программно)
- Время перестройки 1 мс
- Питание 220 В или 12 В
- Габариты
- Частота дискретизации АЦП 5 МГц
- Встроенный аттенюатор 0-42 дБ



Рис. 4. Усилитель мощности

Технические характеристики усилителя мощности:

- ДРЧ 1-25 МГц
- Импульсная мощность 600 Вт
- Максимальная длительность импульса импульса 600 мкс
- Максимальное допустимое КСВ АФУ 3
- Неравномерность АЧХ 1 дБ

- Частота сканирования до 100 Гц
- Выход на симметричный 75 Ом
- Питание 220 В
- Потребляемая мощность 130 ВА
- Габариты 300x300x100
- Масса 8 кг

Для обеспечения помехоустойчивой работы РЛС использует фазо-манипулированный сигнал (16 элементная М-последовательность). Могут использоваться несколько вариантов сигнала (рис. 5 и 6). По морю предусмотрено использование кода Баркера.

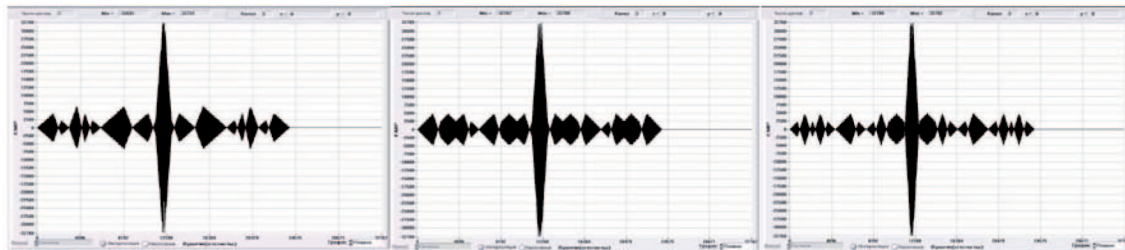


Рис. 5. Свертка сигнала ФКМ

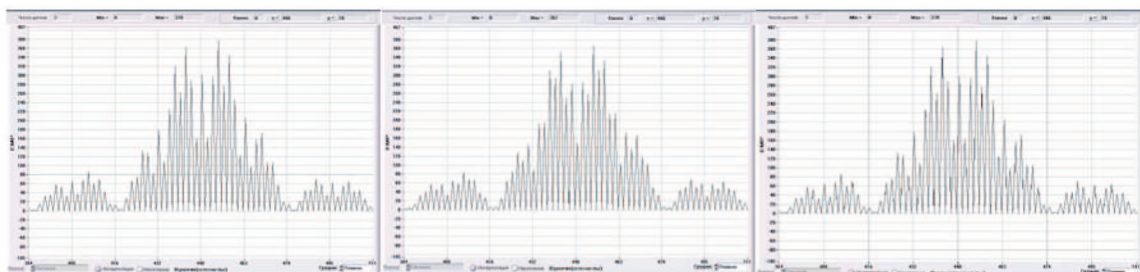


Рис. 6. Спектры сигналов: 1) спектр сигнала Рениши; 2) спектр сигнала M-последовательность 1; 3) спектр сигнала последовательность 2

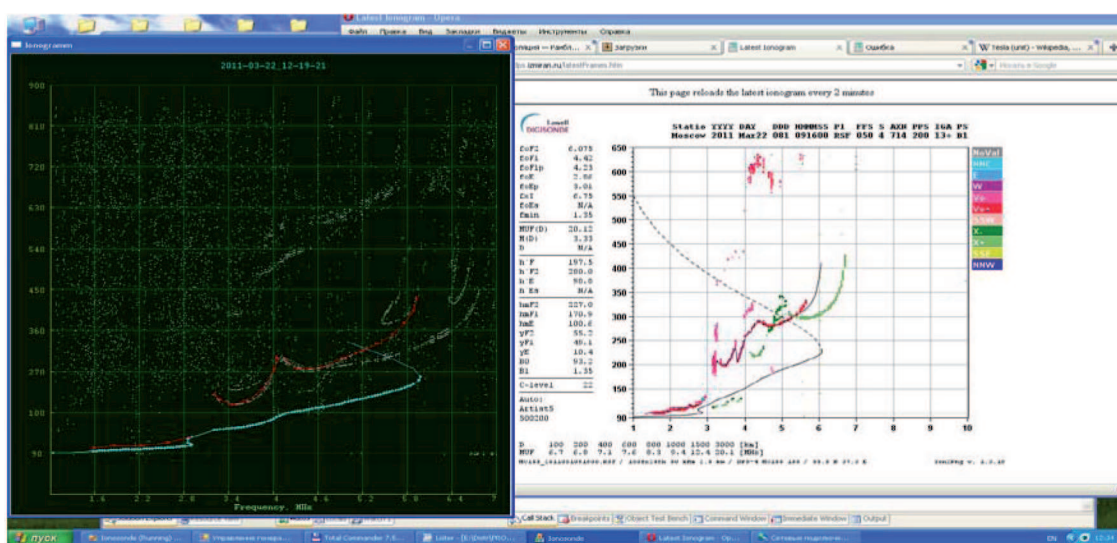


Рис. 7. Ионограмма, сравнение с ионозондом DPS-4 (Рениши), слева МРЛ «Вектор», справа DPS-4

Первые тесты проводились на территории ИЗМИРАН. На фотографиях рис. 7 представлены ионограммы полученные нашим ионозондом (слева) и сравнение с ионограммами, полученными ионозондом DPS-4 «Рениши» (справа) в условиях возмущенной ионосферы.

Методика измерения вертикального профиля течения

Радиолокатор предназначен для работы в составе прибрежных измерительных комплексов для обеспечений решения задач мониторинга течений и волнения с пространственной дискретностью 1 x 1 кв.км и лучше. В результате использования многочастотного режима возможно также обеспечение измерений вертикального профиля течений. Напрерывная перестройка частоты позволяет зондировать профиль течений с очень высокой точностью.

Принцип многочастотного измерения трехмерного профиля скорости течений представлен на рис. 8. Здесь ω – это текущая несущая частота радара, Ω – доплеровский сдвиг частоты из-за брэгговского рассеяния на поверхности морской волны с волновым вектором k , $U(z)$ – скорость течения (вертикальный профиль), θ – угол между волновым вектором и течением, $U_{ef}(k)$ – «эффективная» скорость течения (которую видит локатор), $g=9.8$ м/сек². Подробности методики можно найти в работах [1-11].

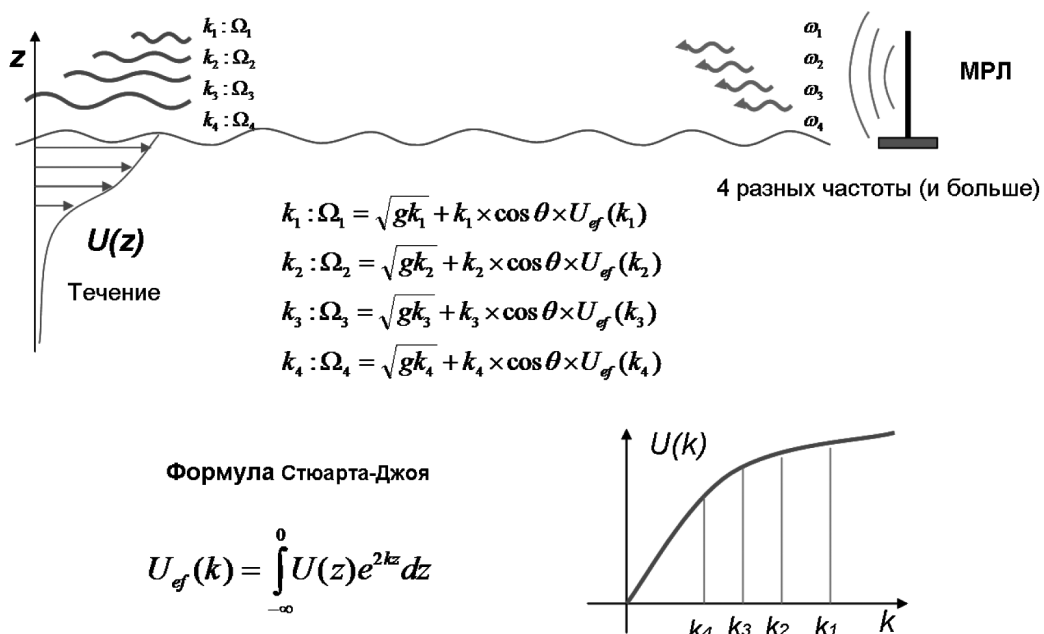


Рис. 8. Принцип многочастотного измерения трехмерного профиля скорости течений

Литература

1. Мельяновский П.А., Кащеев С.Б., Зайцев Г.Д. Радиоокеанографические исследования морского волнения в декаметровом диапазоне радиоволн // Сб. «Радиооптические исследования Мирового океана» (под ред. Басса Ф.Г. и Рассказовского В.Б.) Харьков. 1992. С.80-99.
2. Fernandez D.M., Vesecky J.F., Teague C.C. Measurements of upper ocean surface current shear with high-frequency radar // J. Geophys. Res – Oceans. 1996. V.101. N.C12. P.28615-28625.
3. Ha E.C. Remote Sensing of Ocean Surface Current and Current Shear by HF Backscatter Radar // Technical Report N.D415-1. Stanford University. Calif. August 1979. 134P.
4. Iyonin D.V. Experimental comparison of radar and ADCP measurements of the current vertical shear // Technical report of the Experiment 2000 in the Rhone's delta. Nonlinear Wave Laboratory, Shirshov Institute of Oceanology RAS. July 2000. Moscow. 24 p.
5. Iyonin D.V., Broche P., Devenon J.-L., Shrira V.I. Validation of HF radar probing of the vertical shear of surface currents by ADCP measurements. Journal of Geophysical Research, v. 109, n. C4, pp.1-8, April 2004.

6. Meadows L.A., Vesecky J.F., Teague C.C., Fernandez Y., Meadows G.A. Multi-frequency HF radar observations of the thermal front in the Great Lakes // Proc. IGARSS 2000, IEEE 2000 International Geoscience and Remote Sensing Symposium. 24-28 July 2000. Honolulu Hawaii USA. P.114-116.
7. Shrira V.I., Ivonin D.V., Broche P., de Maistre J.-C. On remote sensing of vertical shear of ocean surface currents by means of a single-frequency VHF radar // Geophys. Res. Letters. 2001. V.28. N.20. P.3955-3958.
8. Stewart R.H., Joy J.W. HF radio measurements of surface currents // Deep Sea Res. 1974. V.21. P.1039-1049.
9. Teague C.C. Multifrequency HF radar observations of currents and current shears // IEEE J. Oceanic Eng. 1986. V.11. N.2. P.258-269.
10. Teague C.C., Vesecky J.F., Fernandez D.M. HF Radar Instruments, Past to Present // Oceanography. 1997. V.10. N.2. P.40-45.
11. Teague C.C., Vesecky J.R., Hallock Z.R. A comparison of multifrequency HF radar and ADCP measurements of near-surface currents during COPE-3 // IEEE J. Oceanic Eng. 2001. V.26. N.3. P.399-405.

Compact multifrequency HF radar for ocean and ionosphere monitoring. Conception and first tests

**V.A. Garbatsevitch^{1,2}, V.A. Telegin^{1,2}, V.S. Lapshin², N.A. Shaboldin²,
I.I. Ivanov^{3,2}, D.V. Ivonin⁴**

¹ *Institute of Terrestrial Magnetism, Ionosphere and Radio Wave Propagation RAS,
Troitsk, Moscow region, 142190, Russia
e-mail: vgarb@izmiran.ru*

² *Research Institute for Long-Range Radiocommunication,
12/11, Bukhvostov str., Moscow, 107076, Russia,
e-mail: telvik@rambler.ru*

³ *Research Institute of Physics, South Federal University,
194, Stachki str., Rostov-na-Donu, 344090, Russia,
e-mail: iiivv@yandex.ru*

⁴ *P.P. Shirshov Institute of Oceanology RAS,
36, Nakhimovsky av., Moscow, 117997, Russia
e-mail: toulon@bk.ru*

Conception, description and first tests of compact multifrequency HF radar “Vector” (1-25 МГц) for ocean and ionosphere monitoring is represented. Radar is developed for measurements of ocean currents and wave fields in the coastal zone with the spatial resolution of 1 x 1 km. Radar has small emission, it uses 16-element phase-keyed signal. Small antenna size of 60 m provides simple installations on the coast. Some test, are presented.

Keywords: multifrequency HF radar, remote sensing, currents, sea wave spectrum, coastal zone.